

Macierz gęstości - stany mieszane

$|\psi\rangle$ - stan czysty (pełna wiedza)

$$\rho = \sum_i p_i |\psi_i\rangle\langle\psi_i| \quad \text{macierz gęstości}$$

nie pełna wiedza stan $|\psi_i\rangle$ z prawdopodobieństwem p_i

$$\langle A \rangle_\rho = \text{Tr}(\rho A) = \sum_i p_i \langle\psi_i| A |\psi_i\rangle = \sum_i p_i \langle A \rangle_{\psi_i}$$

Przykład 1

a) spin $\frac{1}{2}$ z $p = \frac{1}{2}$ w stany $|+\frac{1}{2}\rangle_z$, $|-\frac{1}{2}\rangle_z$

b) -||- $p = \frac{1}{2}$ w stany $|+\frac{1}{2}\rangle_x$, $|-\frac{1}{2}\rangle_x$

$$\rho_a = \rho_b = \frac{1}{2} \mathbb{1} \quad \text{dwa przypadki nie równoważne}$$

Przykład 2

a gdyby mieć po dwie kopie:

$$\frac{1}{2} \left(|+\rangle_z \langle +| \otimes |+\rangle_z \langle +| + |-\rangle_z \langle -| \otimes |-\rangle_z \langle -| \right) \neq$$

$$\neq \frac{1}{2} \left(|+\rangle_x \langle +| \otimes |+\rangle_x \langle +| + |-\rangle_x \langle -| \otimes |-\rangle_x \langle -| \right)$$

klasycznie otrzymasz a) i b) są równoważne ...

Zredukowana macierz gęstości

W poprzednim przykładzie - macierz gęstości reprezentuje zespół stanów czystych.

ale może też opisywać stan produktowy

Różny stan ρ_{AB} dwóch produktów

Mac. d. stan. 1.11 do układu A :

Możemy dostać także do produkcji A:

$$\text{Tr}(A \otimes I \rho_{AB}) = \sum_a \langle \psi_a | \langle \psi_b | A \otimes I \rho_{AB} | \psi_b \rangle | \psi_a \rangle$$

$$= \sum_a \langle \psi_a | A \left(\sum_b \langle \psi_b | \rho_{AB} | \psi_b \rangle \right) | \psi_a \rangle$$

$$\underbrace{\left(\sum_b \langle \psi_b | \rho_{AB} | \psi_b \rangle \right)}_{\rho_A = \text{Tr}_B \rho_{AB}}$$

$$= \text{Tr}(A \rho_A)$$

↑ zredukowanie macierzy gęstości reprezentacji układu do macierzy gęstości układu o produkcji z macierzy gęstości układu B (taki stan możemy uzyskać w wyniku pomiaru mechanicznego) projektora ("model dekohencji")

$$|\psi_S\rangle = s_0 |0\rangle + s_1 |1\rangle, \quad |\psi_E\rangle = |0\rangle$$

wybieramy sobie \hat{U} w wyniku odwrócenia z otoczeniem sprzęga się z drugim układem i mamy stan:

$$\mathcal{U} |0\rangle_S |0\rangle_E = |0\rangle_S |E_0\rangle_E$$

$$\mathcal{U} |1\rangle_S |0\rangle_E = |1\rangle_S |E_1\rangle_E$$

$$|\psi_{SE}\rangle = s_0 |0\rangle |E_0\rangle + s_1 |1\rangle |E_1\rangle$$

gdzie $|E_0\rangle, |E_1\rangle$ pewnie staną drugiego układu

$$\rho_S = \text{Tr}_E \left(|s_0|^2 |0\rangle\langle 0| \otimes |E_0\rangle\langle E_0| + |s_1|^2 |1\rangle\langle 1| \otimes |E_1\rangle\langle E_1| + s_0 s_1^* |0\rangle\langle 1| \otimes |E_0\rangle\langle E_1| + \text{h.c.} \right)$$

$$\Rightarrow \left[\begin{array}{cc} |s_0|^2, & s_0 s_1^* \langle E_0 | E_1 \rangle \\ s_0^* s_1 \langle E_0 | E_1 \rangle, & |s_1|^2 \end{array} \right]$$

$$\sim |\langle \psi_S | \psi_S \rangle| = \left[\begin{array}{cc} |s_0|^2 & s_0 s_1^* \\ s_0^* s_1 & |s_1|^2 \end{array} \right]$$

wynik przedstawia funkcję.

Jeli informacja o stanie $|0\rangle, |1\rangle$ uzyskana do chwili nie miało obserwacji:

koherecji.

Mamy efektywne odwzajemnienie

$$|\psi_S\rangle \langle \psi_S| \longrightarrow S_{\mathcal{F}}$$

Tu oczywiście odwrócić możemy plan bitem $|0\rangle, |1\rangle$. - stary przekształcenie - nowe nie odwrócić

W sytuacji gdy $\langle E_0 | E_1 \rangle = 1$ między koherencją i stanem funkcji myśli \mathcal{E} i \mathcal{B} zdefiniować jeli „umiejętnie pomiarowe” np. w eksplicywnie 2 dwumie sześcianami.

Ostatnie nam, co „reguły superwybory” - jeli koherencja między obserwacją

Painter states

stary cel może ma odwrócić wam 2 stanami

Hint - hamiltonian odwrócić wam

$$e^{-iH_{int}t} |s_i\rangle |E_0\rangle = |s_i\rangle |E_{0,i}(t)\rangle$$

nie zmienia stan np.:

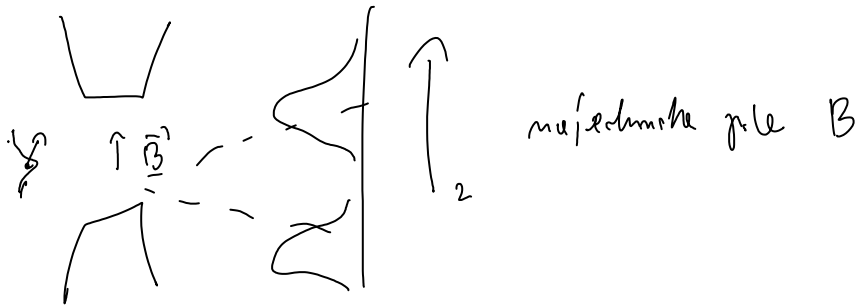
$$\dots \dots \dots \sim (s) \dots (E)$$

np. $H_{int} = \sigma_2^{(S)} \otimes \sigma_2^{(E)}$

wyrażenie stały to $1 \pm \frac{1}{2} \sigma_z$

A jeśli $H_{int} = V(|\vec{r}_1 - \vec{r}_2|)$ wyrażenie stały o charakterze przemieszania - prowadzi to do hipotezy „identycznej” dotyczącej „przemieszania” stały się „kryjone” w rzeczywistości letniej symplektycznej są funkcje do zobserwowania

Experiments Stern-Gerlach



niejednorodna pole B

$$\hat{B} \approx x \hat{e}_z \quad \left\{ \begin{array}{l} \text{łancuch do } B \neq 0 \\ \text{cykli muru byc} \\ \text{składowe } x, y, z \\ \text{pari } \text{fory} \end{array} \right.$$

$$|\Phi\rangle = |s\rangle \otimes |\varphi\rangle$$

\uparrow \uparrow
 stan spinowy stan przestrzenny (tylko kolumna 2) dla wyrażenia

$$|s\rangle = c_+ |+\rangle + c_- |-\rangle \quad \text{stan spinowy } \frac{1}{2}$$

$$|\varphi\rangle = \frac{1}{(2\pi\sigma^2)^{3/4}} \int d^3z e^{-\frac{z^2}{4\sigma^2}} |z\rangle \quad \text{- stan gaussa}$$

oddziaływanie: $H = -\mu \vec{\sigma} \cdot \vec{B}$

μ

moment magnetyczny

Zadaniem jest oddziaływanie toru kątowego S_z z
stanem po oddziaływaniu:

$$|\Phi(\delta t)\rangle = e^{\frac{i}{\hbar} \mu \chi \sigma_z \hat{z} \delta t} (s) |\psi\rangle =$$

$$= \left(\frac{1}{2\pi\sigma^2}\right)^{1/4} \int dz e^{-\frac{z^2}{4\sigma^2}} \left(c_+ e^{\frac{i\mu\chi\delta t}{\hbar} z} (+) |z\rangle + c_- e^{-\frac{i\mu\chi\delta t}{\hbar} z} (-) |z\rangle \right)$$

$$= c_+ (+) |\psi_{+sp}\rangle + c_- (-) |\psi_{-sp}\rangle$$

Żeby cennie porównać obliczenia potrzebujemy:

$$\langle \psi_{+sp} | \psi_{-sp} \rangle = \frac{1}{\sqrt{2\pi\sigma^2}} \int dz e^{-\frac{z^2}{2\sigma^2} - \frac{2i\delta t \mu \chi z}{\hbar}}$$

$$= \frac{1}{\sqrt{2\pi\sigma^2}} \sqrt{\pi 2\sigma^2} e^{-\frac{4\delta t^2 \mu^2 \chi^2 \sigma^2}{2\hbar^2}} = e^{-\frac{2\delta t^2 \mu^2 \chi^2 \sigma^2}{\hbar^2}}$$

$$= e^{-\frac{\delta t^2 \mu^2 \chi^2 \sigma_p^2}{2\sigma^2}}$$

Jaki wpływ ma $\delta t \gg \sigma_p$ na wartość spinu.
Spinowa \rightarrow efektywne pomiar

Lochalizacja kierunku reprezentacji stanu

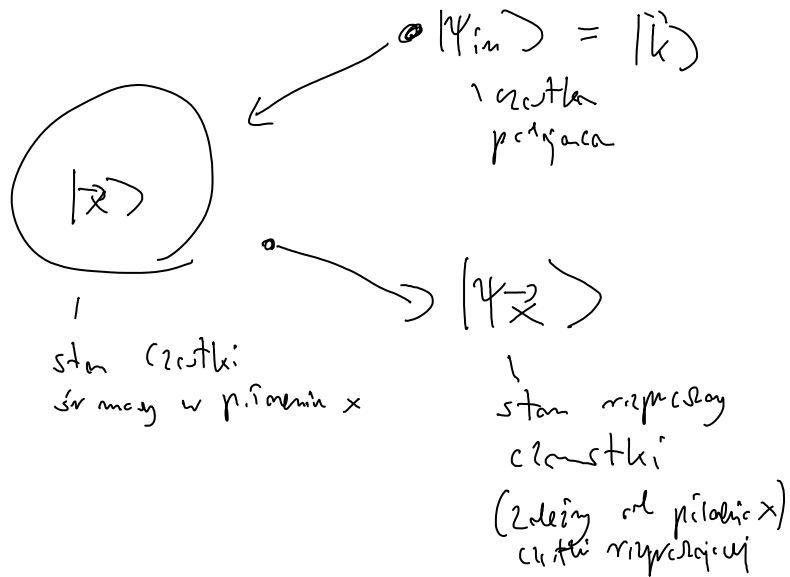
Myśląc o cząstce swobodnej mamy problem

z lokalizacją ...

bo pakiety falowe powinny się rozprzyskić b. szybko

$$\Delta x(t) = \Delta x(c) \left[1 + \frac{\hbar^2}{m^2 \Delta x^4(c)} t^2 \right] \text{ dlatego}$$

nie widzimy tym superpozycji.



Zależności $|\psi_{\vec{x}}\rangle$ od położenia prowadzi do informacji o położeniu wynika do atenuacji
 \rightarrow dekoherencja superpozycji stanów o różnym położeniu

$$|\vec{x}\rangle \otimes |e_0\rangle \rightarrow |\vec{x}\rangle \sum_{\vec{k}} |\psi_{in}\rangle = |\vec{x}\rangle |\psi_{\vec{x}}\rangle$$

miejsce reprezentacji
 udeń centrum w punkcie x
 Zależność od stanu centrum
 reprezentacja się nie zmienia

Zależny jest w chwili pomiarowej:

$$\begin{aligned}
 \rho_{SE} & \neq \rho_S(c) \otimes |\psi_{in}\rangle \langle \psi_{in}| = \\
 & = \int d\vec{x} d\vec{x}' \rho_S(\vec{x}, \vec{x}', c) |\vec{x}\rangle_S \langle \vec{x}'| \otimes |\psi_{in}\rangle_S \langle \psi_{in}|
 \end{aligned}$$

$$= \int d\vec{x} d\vec{x}' S_S(\vec{x}, \vec{x}', 0) |\vec{x}\rangle_S \langle \vec{x}'|_S \langle \text{in} | \langle \text{in} |_S$$

$$\xrightarrow{S} S_{SE}(T) \int d\vec{x} d\vec{x}' S_S(\vec{x}, \vec{x}', 0) |\vec{x}\rangle_S \langle \vec{x}'|_S \otimes |\psi_{\vec{x}}\rangle \langle \psi_{\vec{x}}|$$

po dźwięku ciele T:

$$S_S(T) = \text{Tr}_E(S_{SE}(T)) =$$

$$= \int d\vec{x} d\vec{x}' S(\vec{x}, \vec{x}', 0) |\vec{x}\rangle \langle \vec{x}'| \langle \psi_{\vec{x}} | \psi_{\vec{x}} \rangle$$

↑
mamy więcej te metryki
obj więcej się dechodzący

W teni, reprezentacja wprowadziłamy:

amplituda reprezentacji: $f(\vec{k}, \vec{k}')$

$$|\psi\rangle = \underbrace{(1 + G_0 T)}_S |\psi_{\text{in}}\rangle$$

$$f(\vec{k}', \vec{k}) = - \frac{4\pi^2 m}{\hbar^2} \langle \vec{k}' | T | \vec{k} \rangle, \quad |\vec{k}\rangle = \frac{1}{\sqrt{(2\pi)^3}} e^{i\vec{k}\vec{r}}$$

ramichy metryki cymy: $|\vec{k}'| = |\vec{k}|$, $\theta(\varphi)$ - kumul
reprezentacja

$$\frac{d\sigma}{d\Omega} = |f(\theta, \varphi | p)|^2$$

$$\langle \vec{k}' | \underbrace{G_0 T}_T | \vec{k} \rangle = \frac{i}{2\pi k} \delta(k' - k) f(\vec{k}', \vec{k})$$

$$\hat{S}_{\vec{x}} = e^{-i \frac{\hat{p}_0 \cdot \vec{x}}{\hbar}} \hat{S} e^{i \frac{\hat{p}_0 \cdot \vec{x}}{\hbar}}$$

→

2 op. reprezentacji przesunięty o \vec{x}

$$\langle \psi_{\vec{x}} | \psi_{\vec{x}} \rangle = \langle \psi_{in} | \hat{S}_{\vec{x}}^\dagger \hat{S}_{\vec{x}} | \psi_{in} \rangle =$$

$$= \langle \psi_{in} | e^{-\frac{i\hat{p}\vec{x}}{\hbar}} S^\dagger e^{\frac{i\hat{p}(\vec{x}'-\vec{x})}{\hbar}} S e^{\frac{i\hat{p}\vec{x}}{\hbar}} | \psi_{in} \rangle$$

Wziemy $|\psi_{in}\rangle = |\vec{k}\rangle, \frac{1}{\sqrt{(2\pi)^3}} e^{i\vec{k}\vec{r}}$

$$= e^{-i\vec{k}\vec{x}'} \langle \vec{k} | S^\dagger e^{\frac{i\hat{p}(\vec{x}'-\vec{x})}{\hbar}} S e^{i\vec{k}\vec{x}} | \vec{k} \rangle$$

$$S^\dagger S = \mathbb{1} \quad S = \mathbb{1} + G \cdot T \approx \mathbb{1} + T'$$

dla uproszczenia p'ing

$$(\mathbb{1} + T'^\dagger)(\mathbb{1} + T') = \mathbb{1}$$

$$T'^\dagger + T' = -T'^\dagger T'$$

$$= e^{i\vec{k}(\vec{x}-\vec{x}')} \langle \vec{k} | (\mathbb{1} + T'^\dagger) e^{\frac{i\hat{p}(\vec{x}'-\vec{x})}{\hbar}} (\mathbb{1} + T') | \vec{k} \rangle$$

$$= \langle \vec{k} | \vec{k} \rangle + e^{\frac{i\vec{k}(\vec{x}-\vec{x}')}{\hbar}} \langle \vec{k} | T'^\dagger e^{\frac{i\hat{p}(\vec{x}'-\vec{x})}{\hbar}} T' | \vec{k} \rangle$$

$$+ \underbrace{\langle \vec{p} | T' + T | \vec{p} \rangle}_{-\langle \vec{p} | T'^\dagger T' | \vec{p} \rangle}$$

$$\langle \psi_{\vec{x}} | \psi_{\vec{x}} \rangle = \langle \vec{k} | \vec{k} \rangle + \int \left(e^{i(\vec{k}-\vec{k}')(\vec{x}-\vec{x}')} - 1 \right) \langle \vec{k} | T' | \vec{k}' \rangle^2 d^3k'$$

$$\dots - F(x-x')t$$

$$\mathcal{P}(x, x', t) = \mathcal{P}(x, x', 0) e^{-F(x-x')t}$$

$$F(x-x') = \int dk \mathcal{S}(k) v(k) \int \frac{d\tilde{n} d\tilde{n}'}{4\pi} \left(1 - e^{ik(\tilde{n}-\tilde{n}')(\bar{x}-\bar{x}')} \right) \cdot |\rho(k, \tilde{n}, k, \tilde{n}')|^2$$

$$\int dk \mathcal{S}(k) = \frac{N}{V} \quad \text{gęstość węzła}$$

L gęstość węzła = długość wekt. falowego.

Przy założeniu że p-powłoka węzła ma to samo rozk. $\lambda \gg (x-x')$ możemy $k(\bar{x}-\bar{x}')$

$$F(x-x') \approx \Lambda (x-x')^2$$

$$\Lambda = \int dk \mathcal{S}(k) v(k) k^2 \sigma_{\text{eff}}(k)$$

wekt. σ_{eff} :
2 op. pólnojęzyk

$$\mathcal{P}(x, x', t) = \mathcal{P}(x, x', 0) e^{-\Lambda (x-x')^2 t}$$

Oblicz Λ dla określonych parametrów v i temp

predefiniuj:

$$\sigma_{\text{eff}}(k) \approx \frac{\pi a^2}{3} \quad \begin{matrix} 1 \\ a - \text{średnia długość} \\ \text{węzła} \end{matrix}$$

$$\Lambda \approx \frac{\pi a^2}{3} \int dk \mathcal{S}(k) v(k) k^2$$

$$\mathcal{S}(k) = \frac{N}{V} \frac{1}{4\pi} k^2 \hbar \left(\frac{1}{2\hbar m k_B T} \right)^{\frac{3}{2}} e^{-\frac{\hbar^2 k^2}{2m k_B T}}$$

1 węzła w B. - stan

$$v(k) = \frac{\hbar k}{m}$$

$$\Lambda = \frac{8}{3\hbar^2} \frac{N}{V} (2\sqrt{m})^{\frac{1}{2}} a^2 (k_B T)^{\frac{3}{2}}$$

$$a = 10^{-5} \text{ m}, \quad \text{masa węzła punktowa } m \approx 0.5 \cdot 10^{-25} \text{ kg}$$

$$a = 10^{-5} \text{ m} \quad , \quad \text{mass velocity parameter } m = 0.5 \cdot 10^{-25} \text{ kg}$$

↓
pył

$$T = 300 \text{ K} \quad , \quad \frac{N}{V} = 3 \cdot 10^{25} \frac{\text{cm}^3}{\text{m}^3}$$

$$\Lambda = 10^m \frac{1}{\text{m}^2 \text{ s}}$$

$$\text{pył } \Delta x^2 = a^2 \quad \Lambda \cdot \Delta x^2 = 10^{-31} \frac{1}{\text{s}}$$

$$\text{zob. b. i. g. } \text{Kohler} \text{ w } \text{LZ} \text{ w } 10^{-31} \text{ s } \dots$$

Table 3.2. Estimates of decoherence timescales $\tau_{\Delta x} = \Lambda^{-1}(\Delta x)^{-2}$ (in seconds) for the suppression of spatial interferences over a distance Δx equal to the size a of the object ($\Delta x = a = 10^{-3}$ cm for a dust grain and $\Delta x = a = 10^{-6}$ cm for a large molecule). The timescales were computed using the values for Λ listed in Table 3.1.

Environment	Dust grain	Large molecule
Cosmic background radiation	1	10^{24}
Photons at room temperature	10^{-18}	10^6
Best laboratory vacuum	10^{-14}	10^{-2}
Air at normal pressure	10^{-31}	10^{-19}

$$\rho(x, x', t) = \rho(x, x', 0) \exp\{-\Lambda t(x - x')^2\}. \quad (3.63)$$

Here the quantity

$$\Lambda = \frac{k^2 N v \sigma_{\text{eff}}}{V} \quad (3.64)$$

measures the “localization rate”. In (3.64) k is the wave number, Nv/V the incoming flux, while σ_{eff} (to be calculated from the S -matrix) is of the order of the total cross section (see App. A1).

There is in general a vast number of scattering processes contributing to the destruction of interference. They will depend on the properties of the interaction of the considered object with its actual surroundings. In Table 3.1 we list some “localization rates” Λ resulting from various scattering processes.

Table 3.1. Localization rate Λ in $\text{cm}^{-2} \text{s}^{-1}$ for three sizes of “dust particles” and various types of scattering processes (from Joos and Zeh 1985). This quantity measures how fast interference between different positions disappears as a function of distance in the course of time, see (3.63).

	$a = 10^{-3}$ cm dust particle	$a = 10^{-5}$ cm dust particle	$a = 10^{-6}$ cm large molecule
Cosmic background radiation	10^6	10^{-6}	10^{-12}
300 K photons	10^{19}	10^{12}	10^6
Sunlight (on earth)	10^{21}	10^{17}	10^{13}
Air molecules	10^{36}	10^{32}	10^{30}
Laboratory vacuum (10^3 particles/ cm^3)	10^{23}	10^{19}	10^{17}